

Fig. I.1 Representación esquemática de los excitones a) de Frenkel, fuertemente ligados y, b) de Wannier, debilmente ligados.

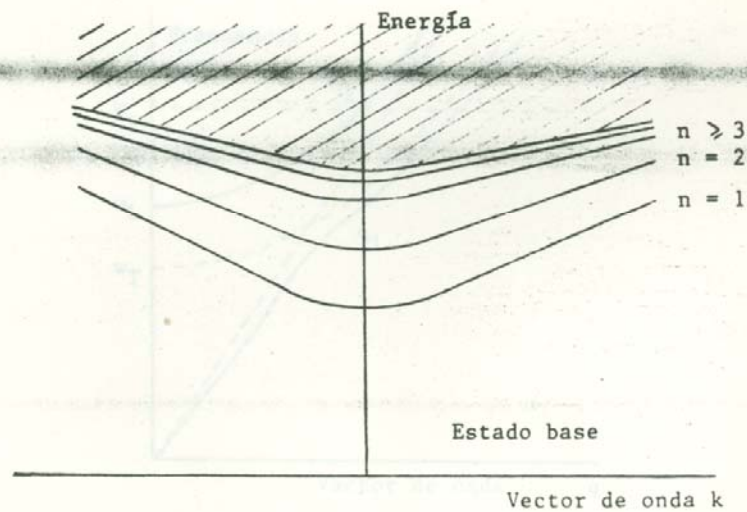


Fig. I.2. Esquema de la relación de la energía - contra el vector de onda para series excitónicas hidrogenoides.  $n$  denota los números cuánticos -- principales de las series de energía.

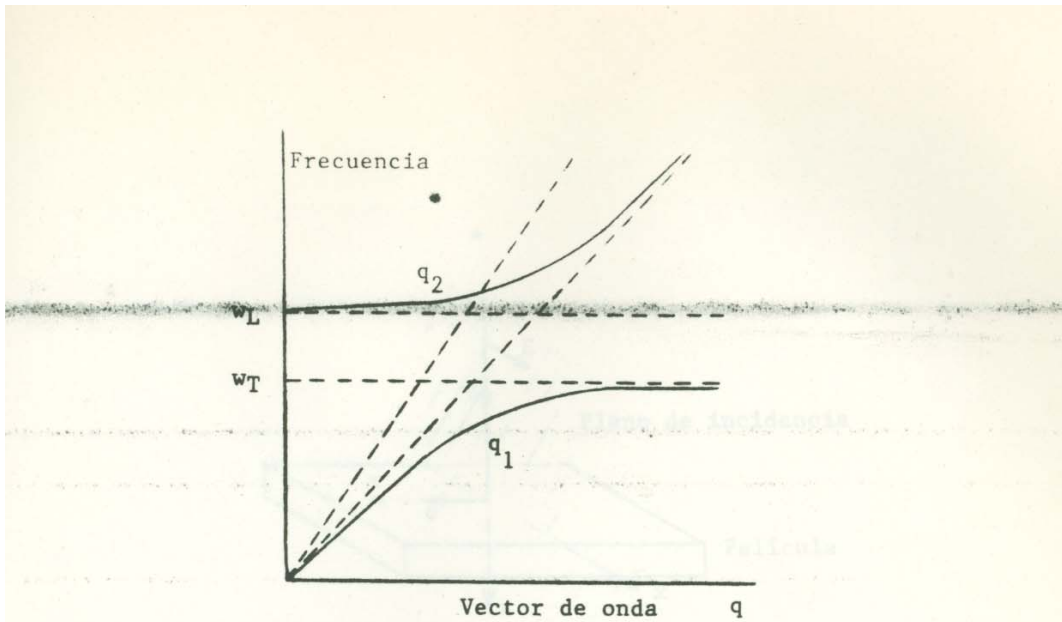


Figura I.3 Relación de dispersión para polaritones fonones. En este caso no hay dispersión espacial.

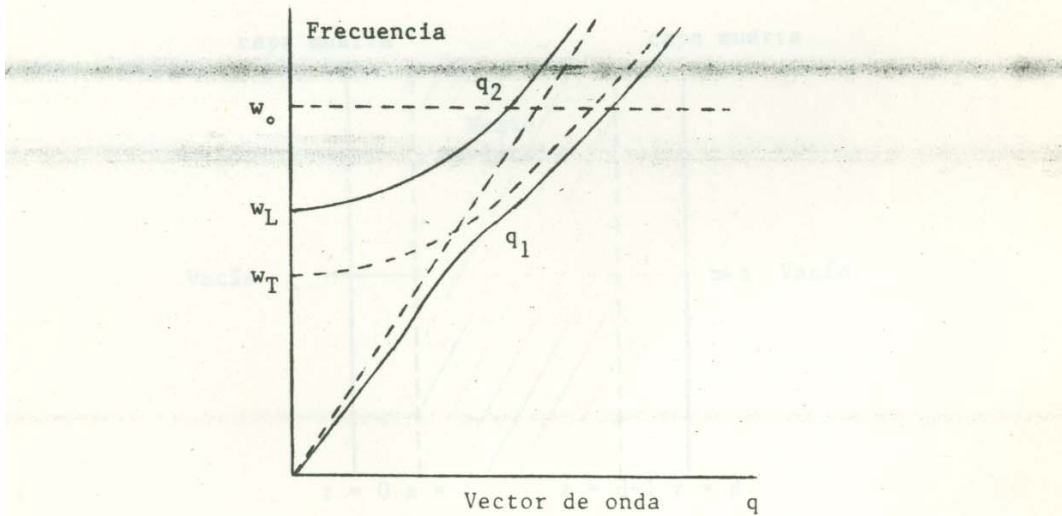


Figura I.4 Diagrama esquemático de la relación de dispersión de polaritón excitón para modos transversales, en presencia de dispersión espacial.

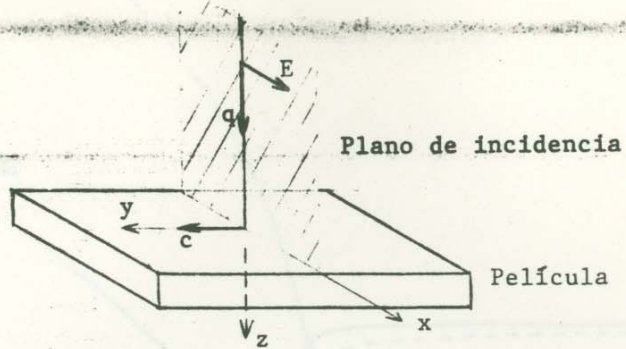


Fig. I.5 Geometría de la incidencia. Se muestra la posición del plano de incidencia respecto a la película.

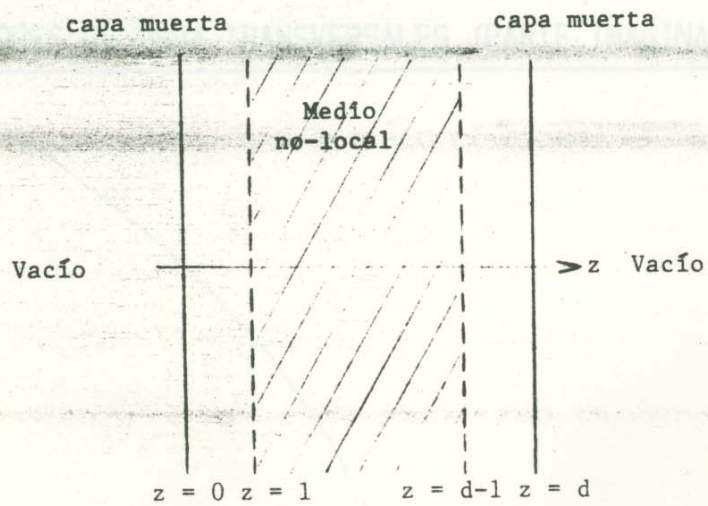


Fig. I.6 Distribución de las diferentes regiones en la película. La región sobreada corresponde al medio dispersivo, con espesor  $d-2l$ .

VECTORES DE ONDA TRANSVERSALES (PARTE REAL)

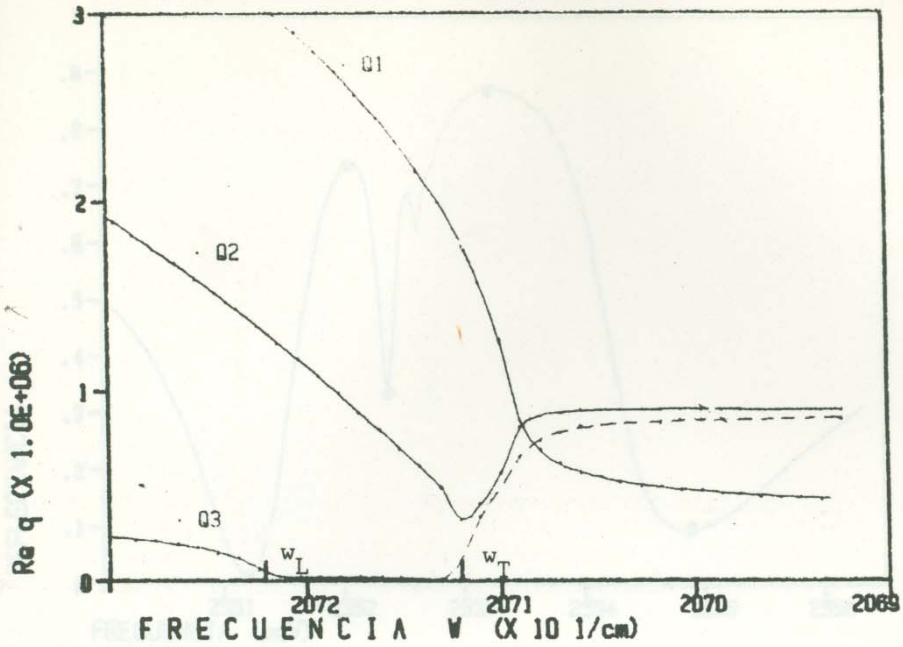


Figura II.1 a

VECTORES DE ONDA TRANSVERSALES (PARTE IMAGINARIA)

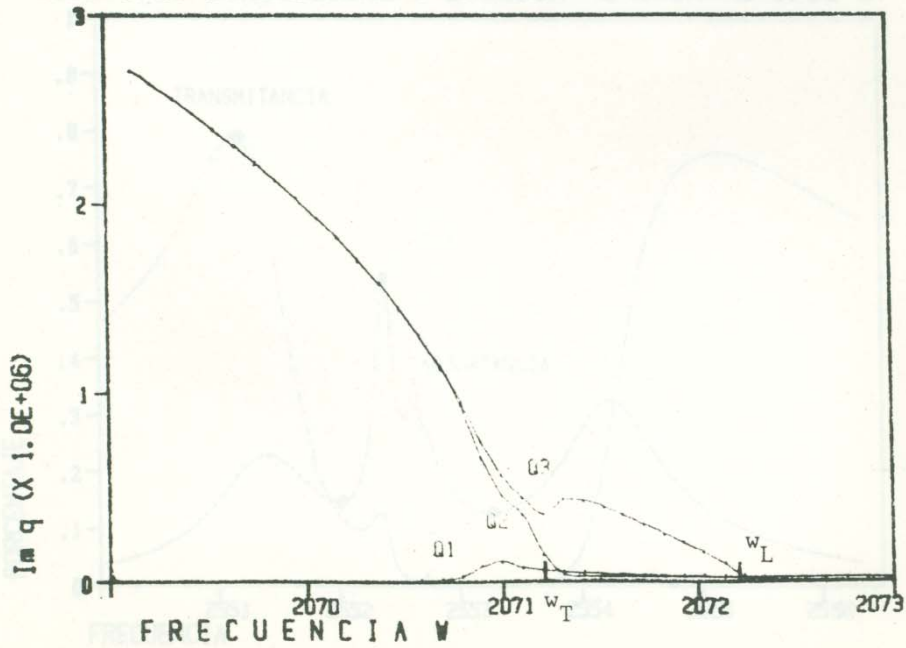


Figura II.1 b

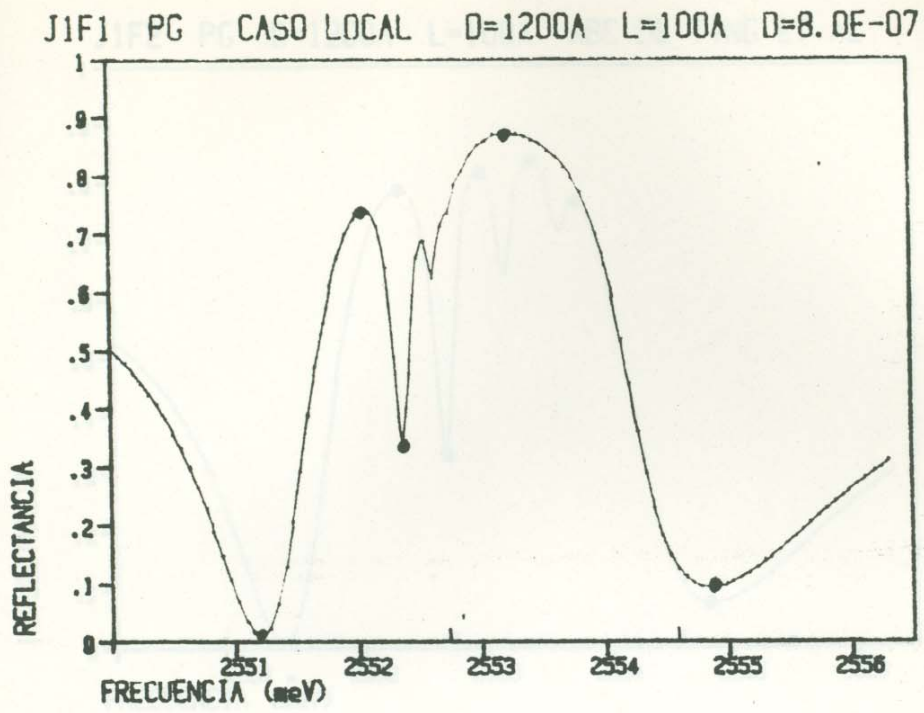


Figura IV.1.a

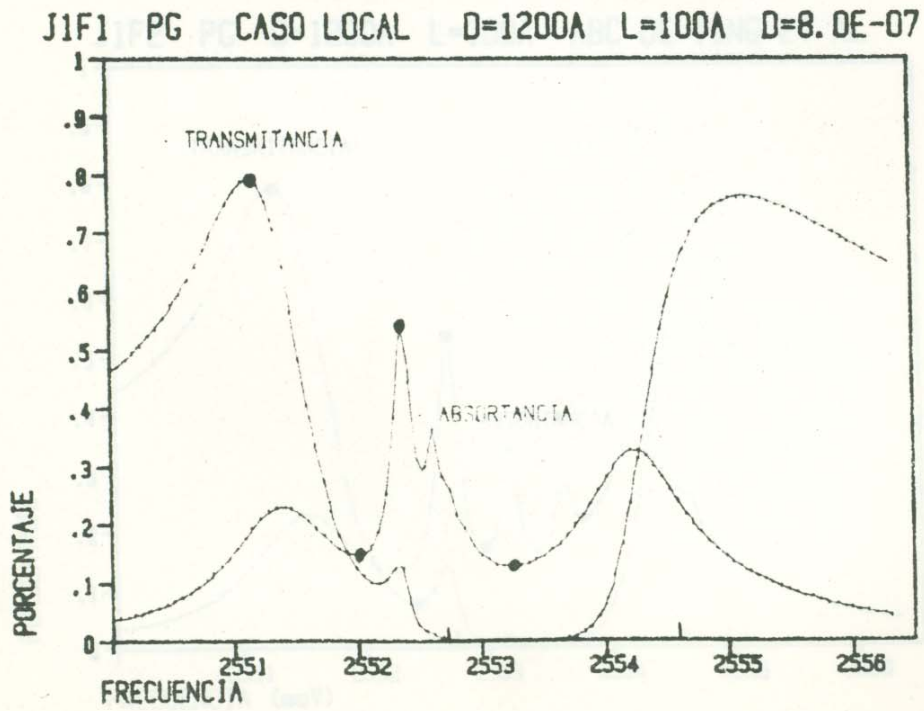


Figura IV.1.b

J1F2 PG D=1200A L=100A ABC DE TING ET AL

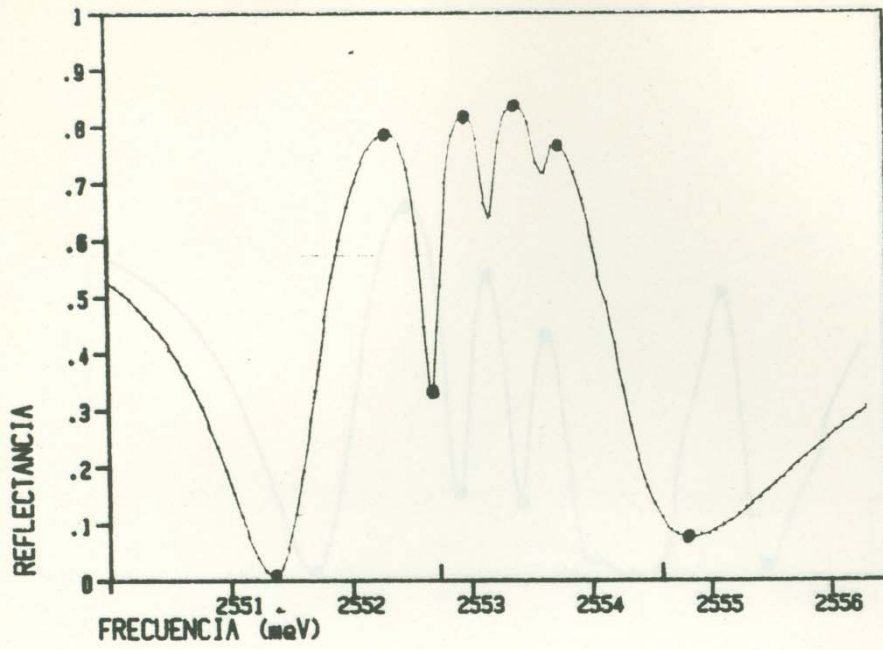


Figura IV.2.a

J1F2 PG D=1200A L=100A ABC DE TING ET AL

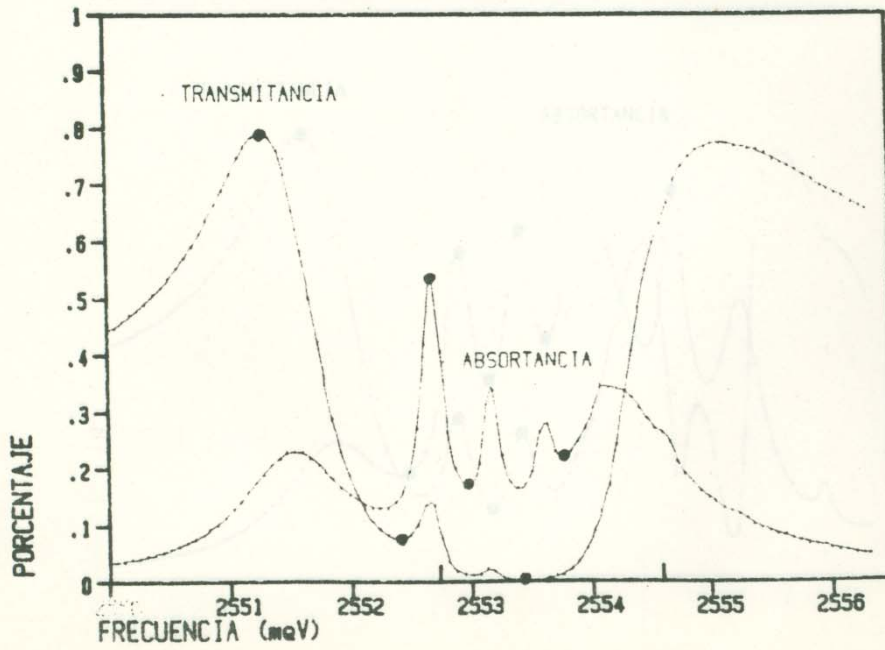


Figura IV.2.b

J1F2 PG D=1200A L=100A ABC DE TING ET AL

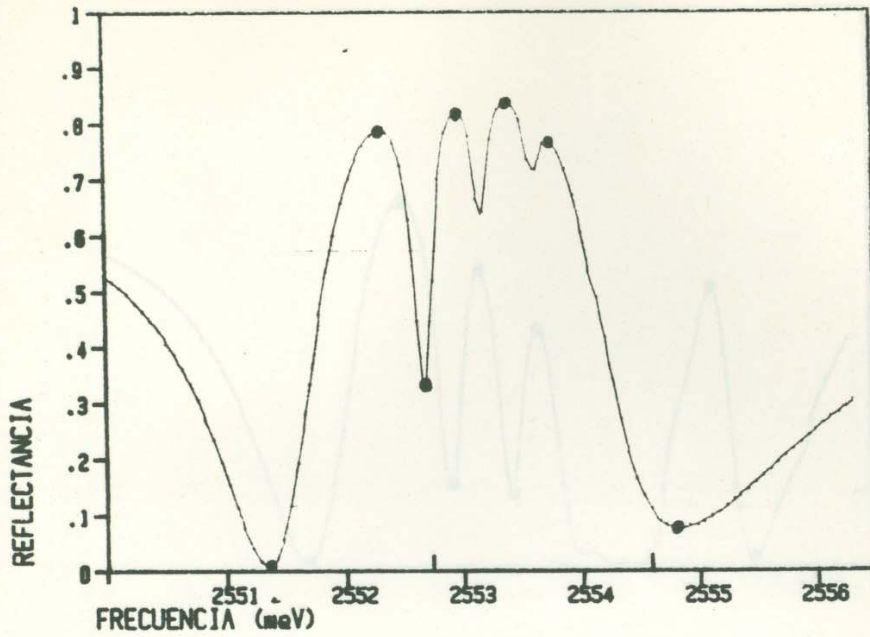


Figura IV.2.a

J1F2 PG D=1200A L=100A ABC DE TING ET AL

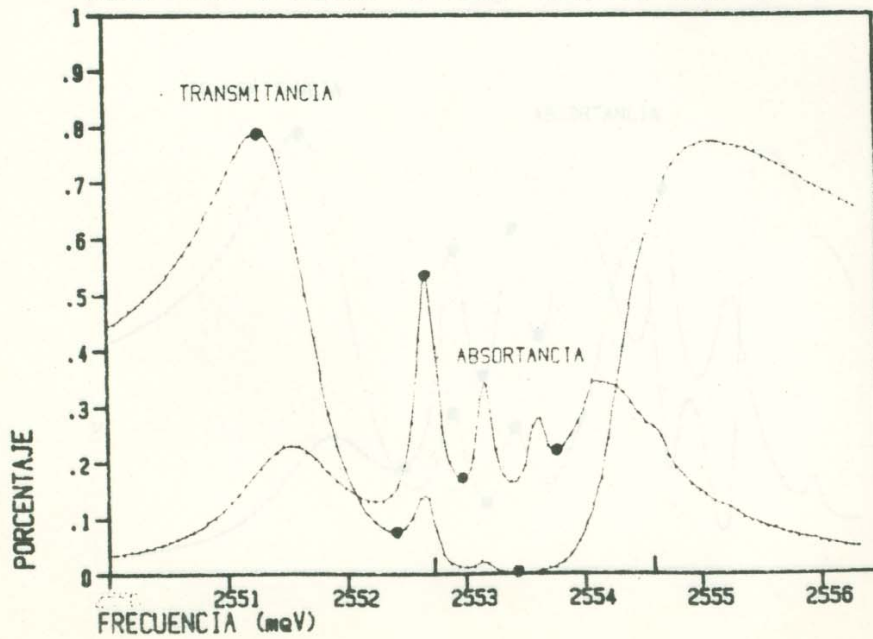


Figura IV.2.b

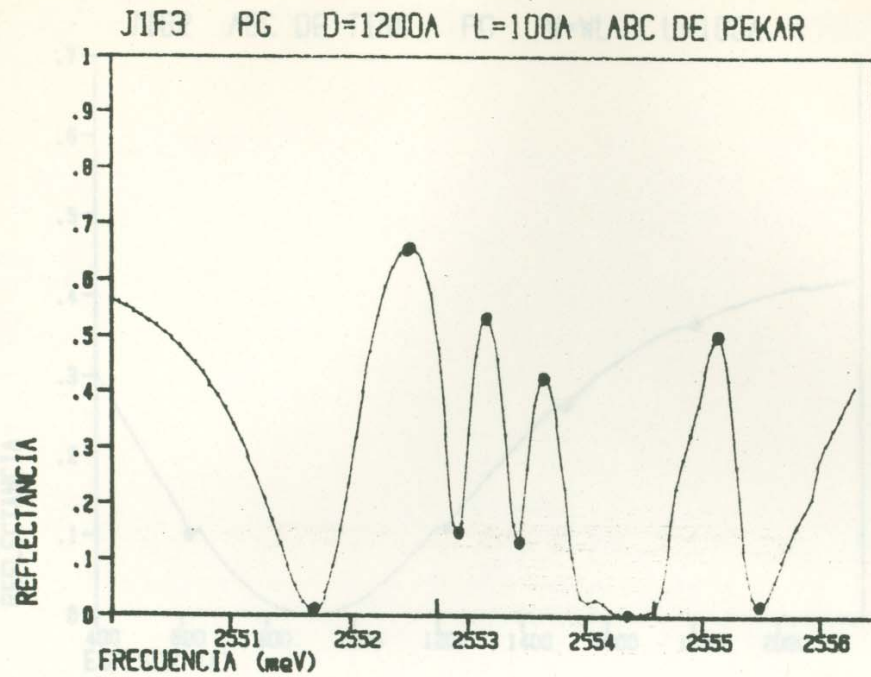


Figura IV.3.a

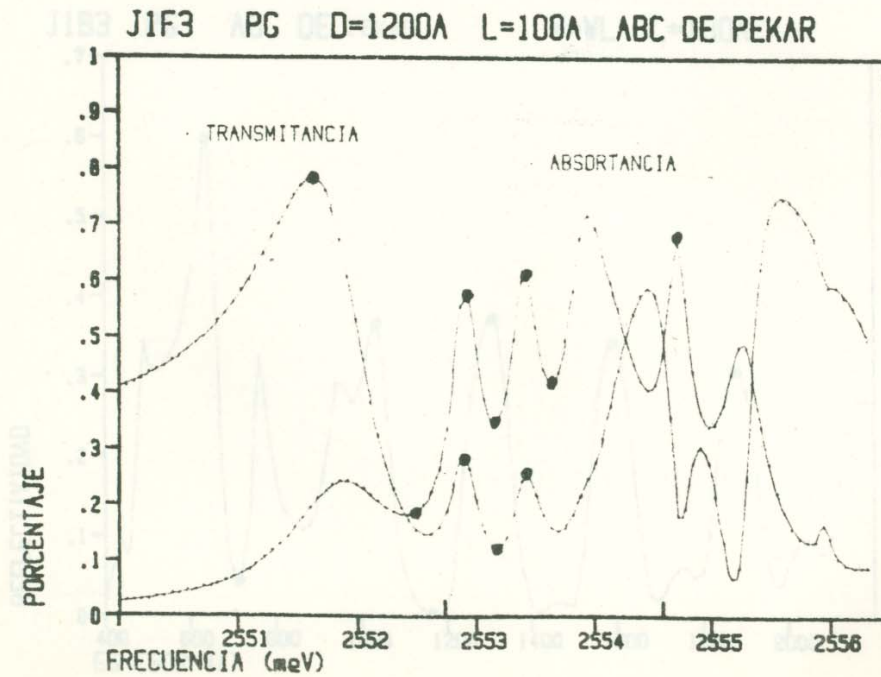


Figura IV.3.b



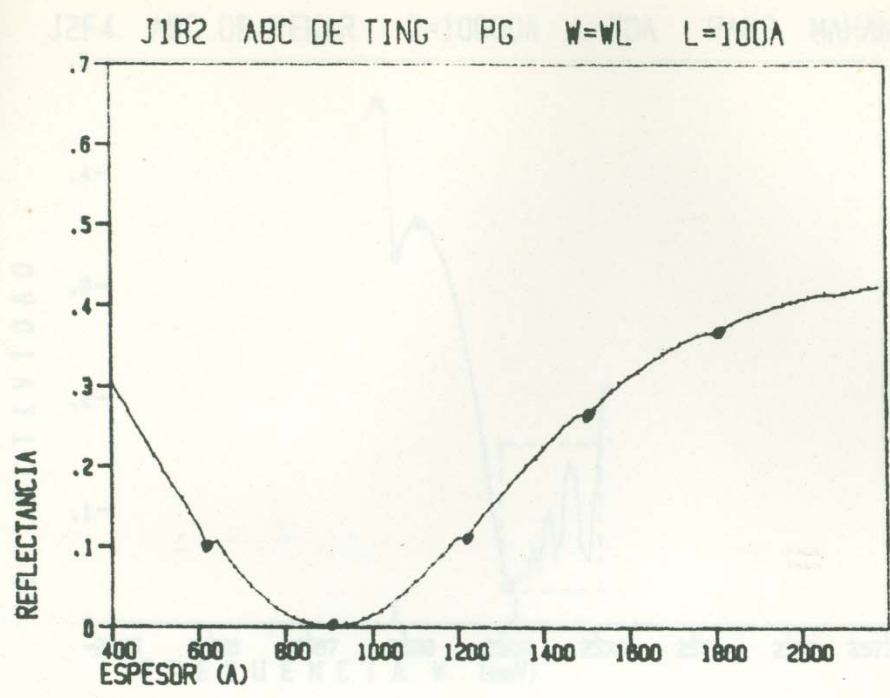


Figura IV.4.a

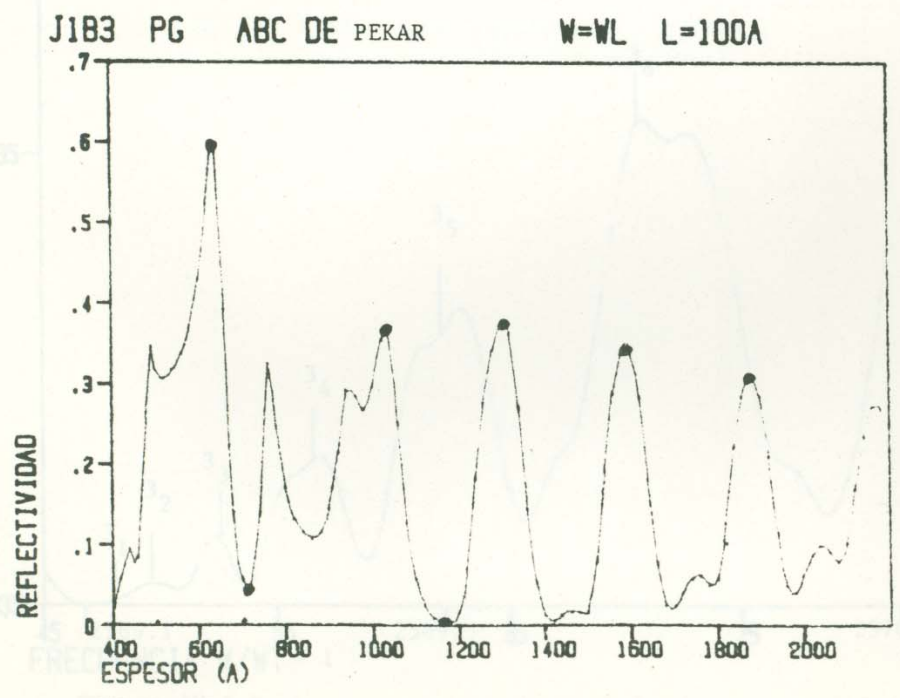


Figura IV.4.b

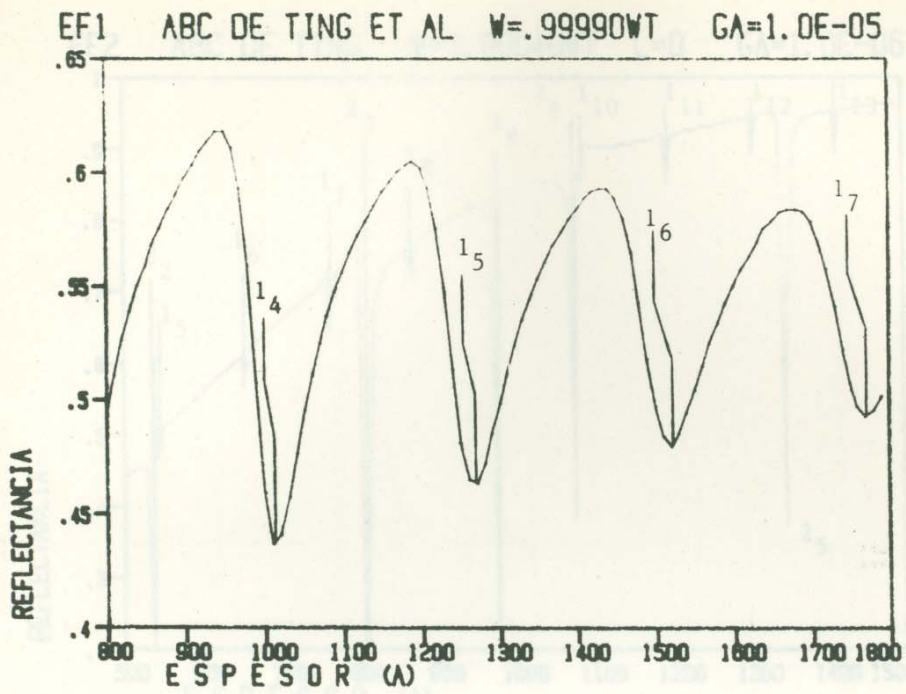


Figura IV.6.a

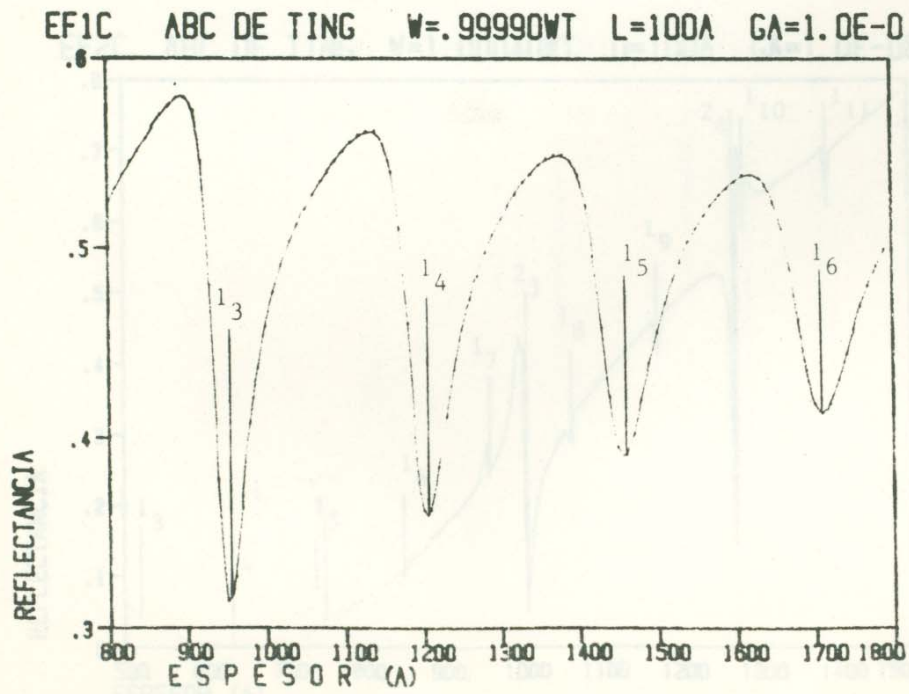


Figura IV.6.b

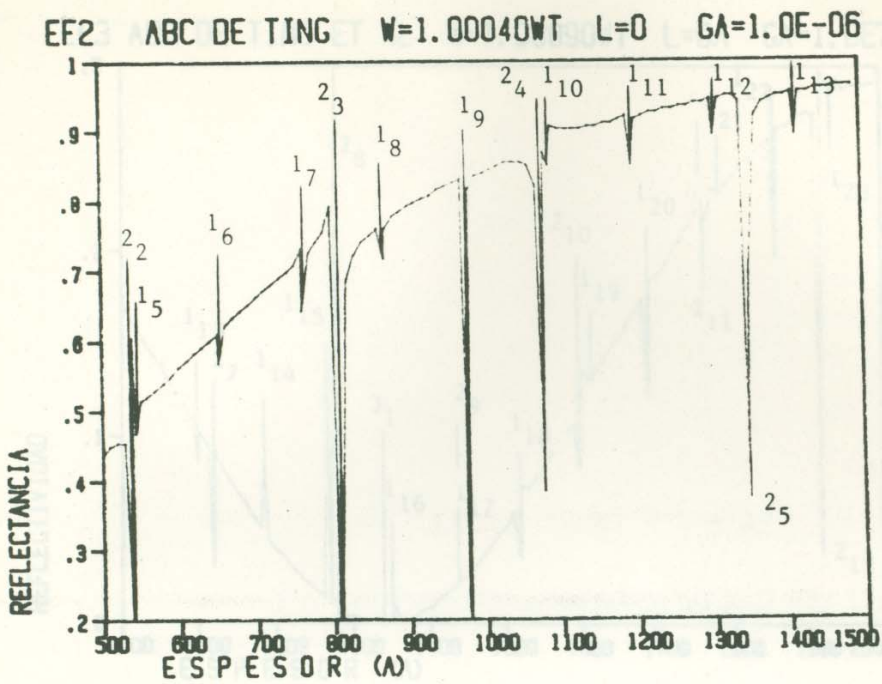


Figura IV.7.a

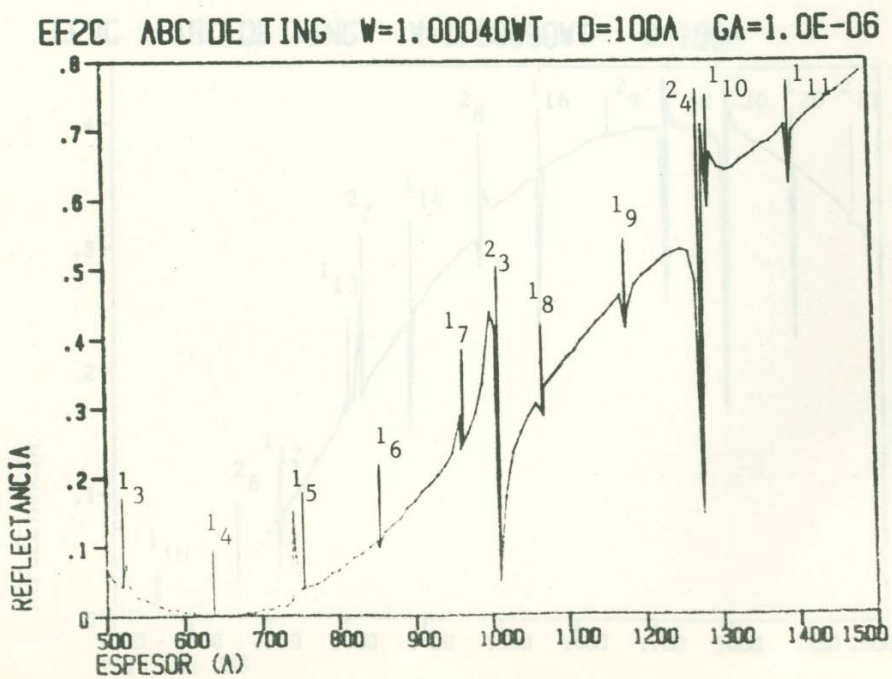


Figura IV.7.b

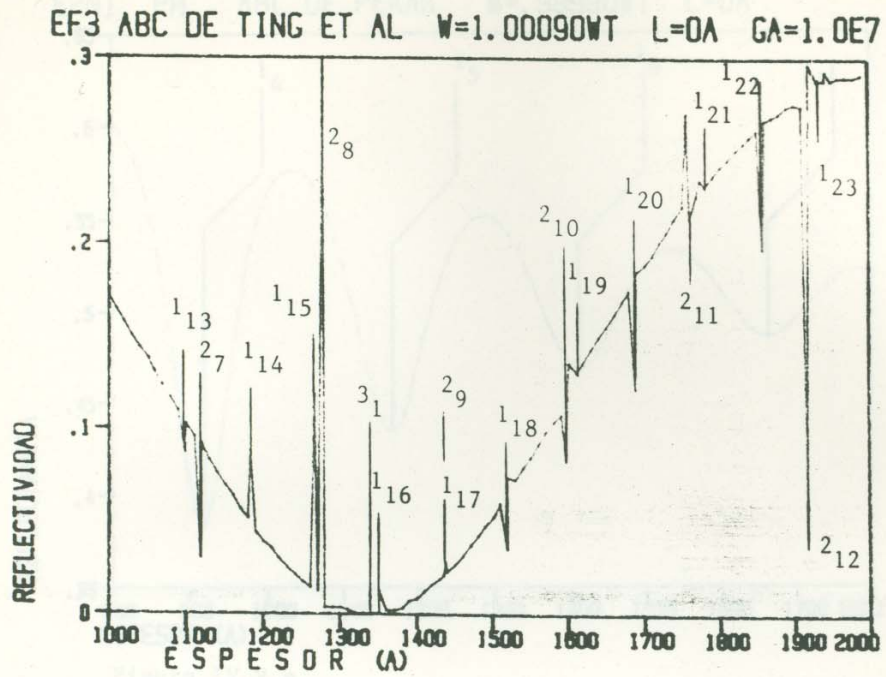


Figura IV.8.a

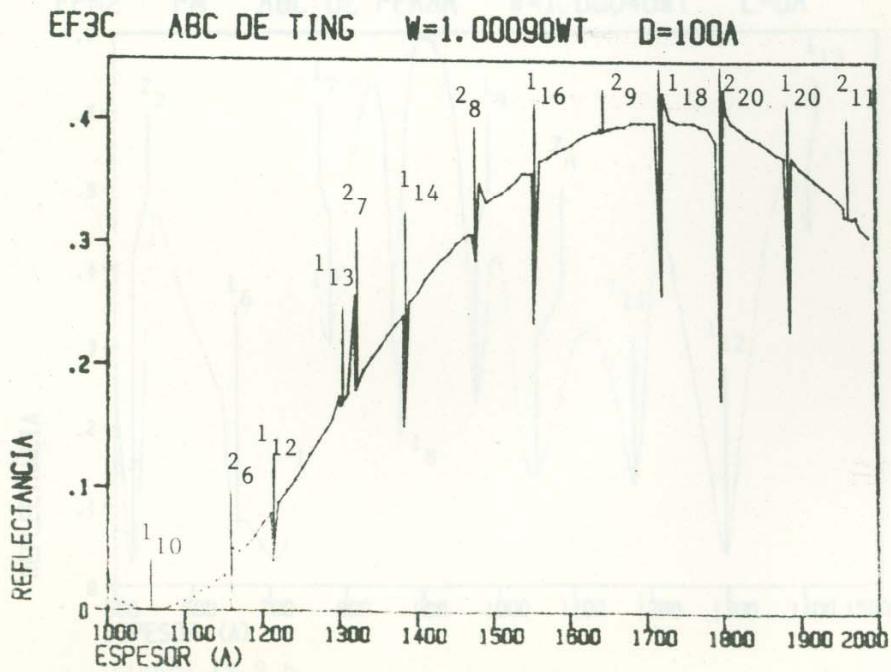


Figura IV.8.b

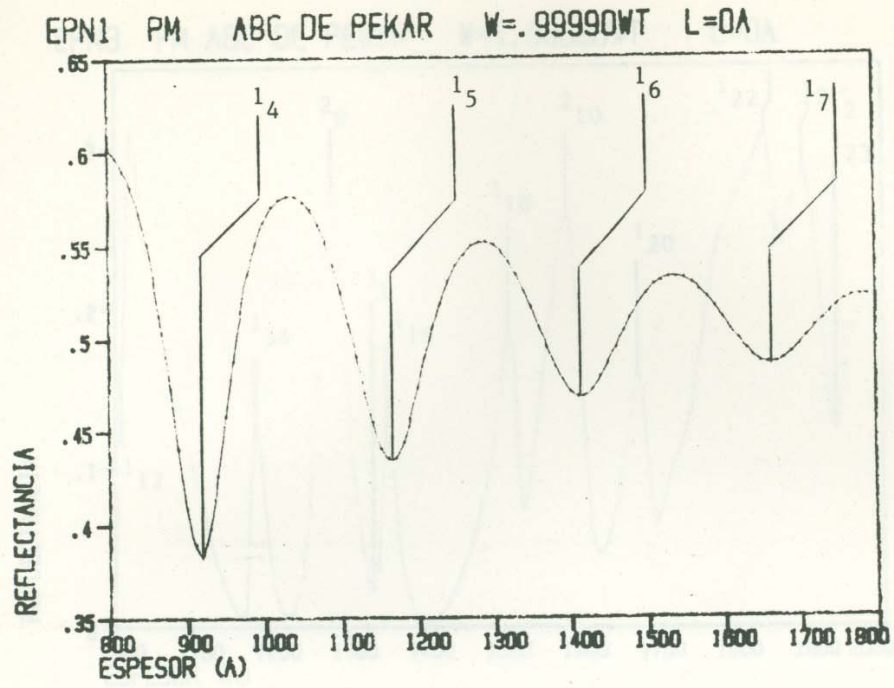


Figura IV.9.a

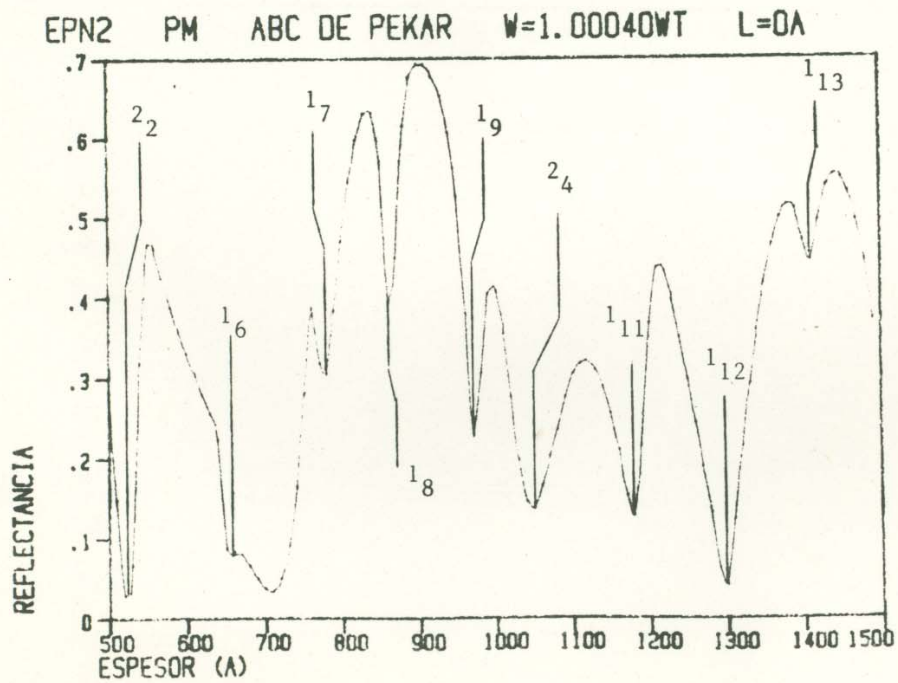


Figura IV.9.b

EPN3 PM ABC DE PEKAR W=1.00090WT L=0A

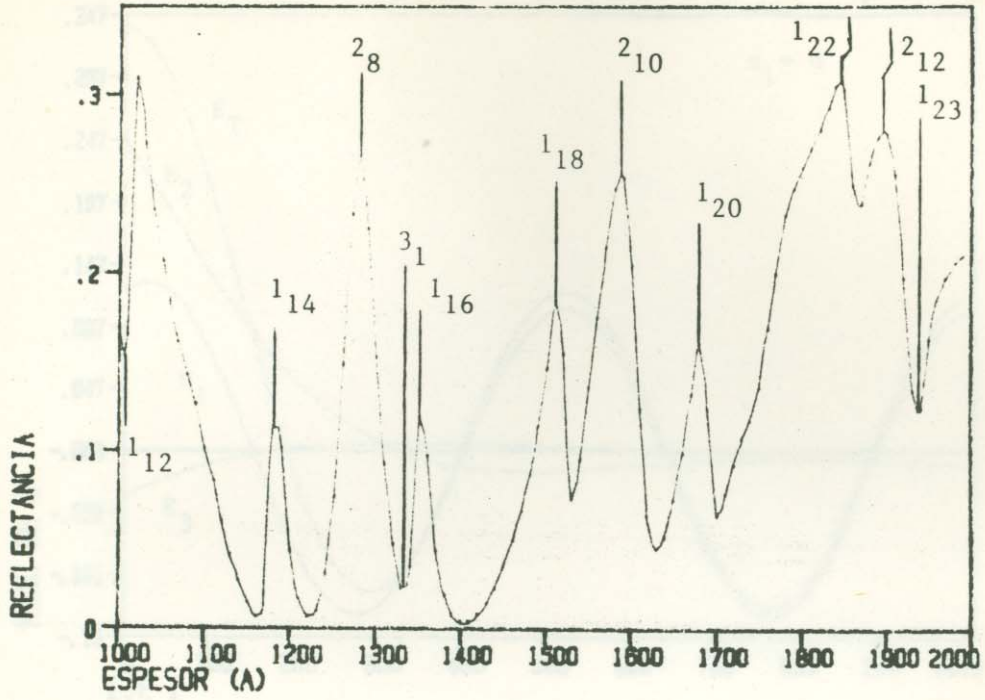


Figura IV.9.c

C31B D=1274A L=0A ABC DE TING (EF) W<sub>1</sub>



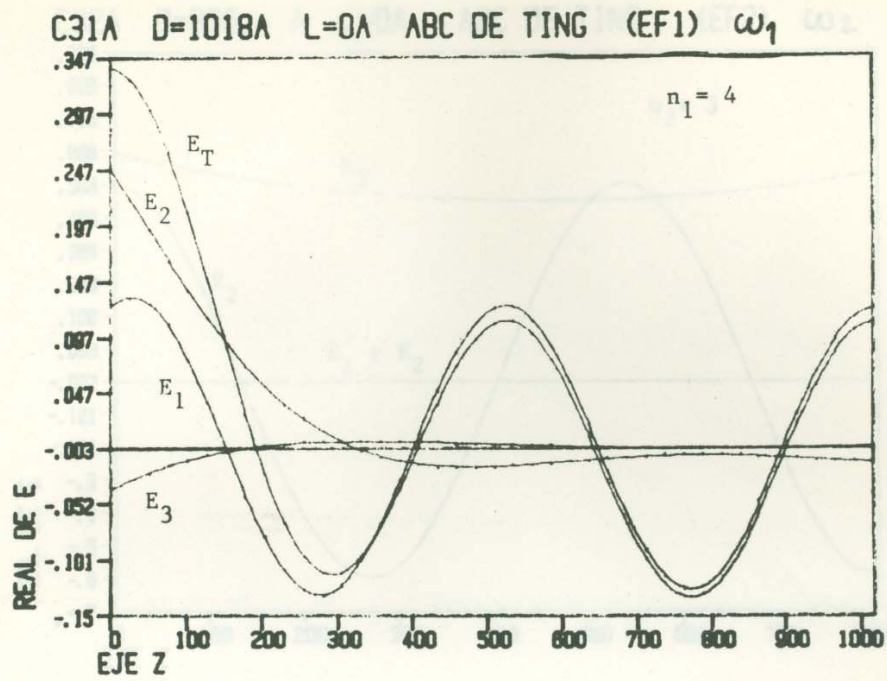


Figura IV.10.a

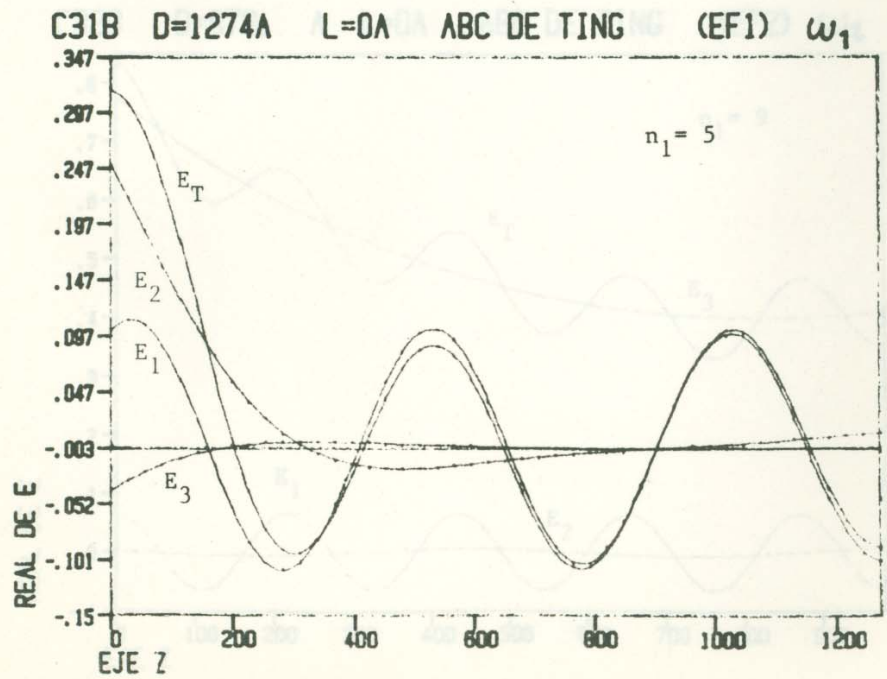


Figura IV.10.b

C32A D=808. A L=0A ABC DE TING (EF2)  $\omega_2$

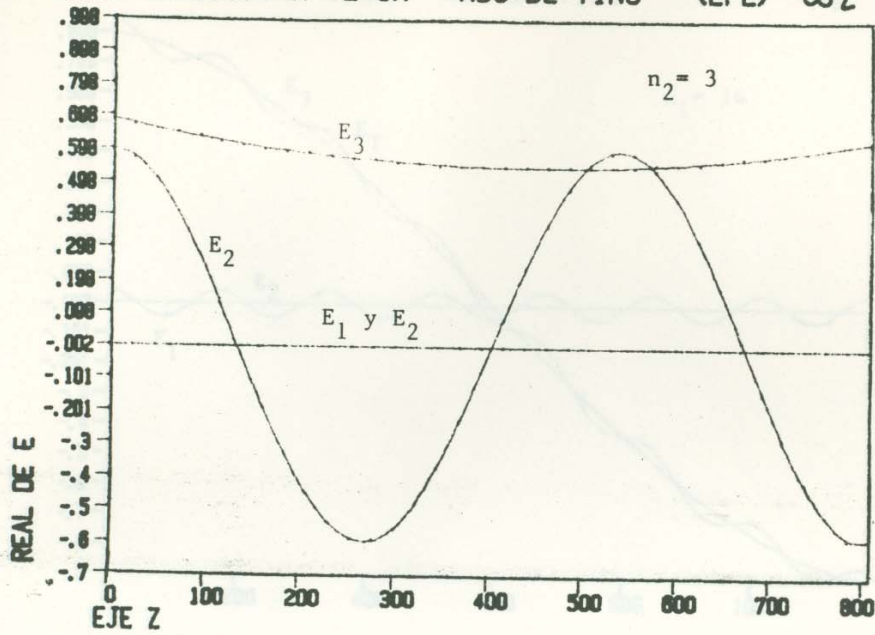


Figura IV.11.a

C32B D=978. A L=0A ABC DE TING (EF2)  $\omega_2$

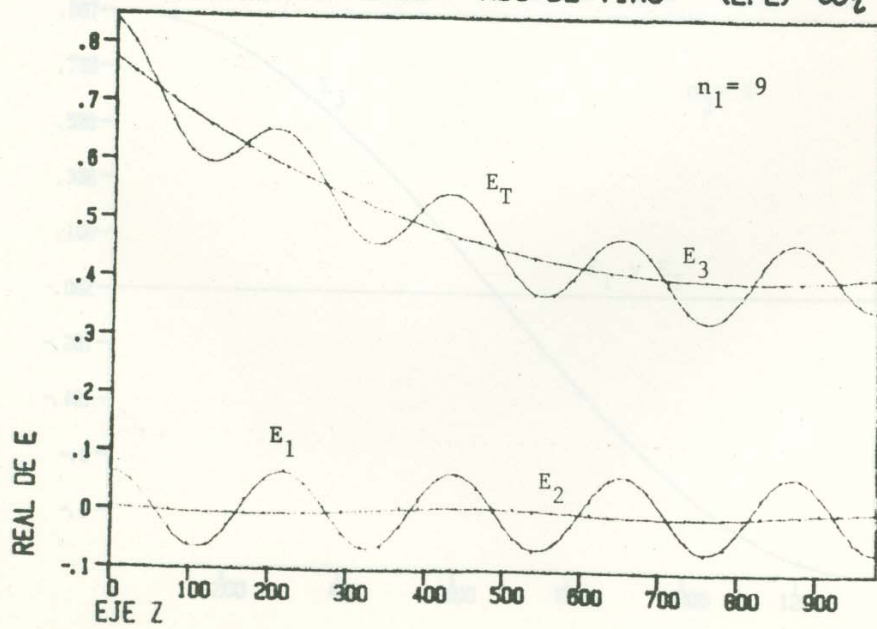


Figura IV.11.b



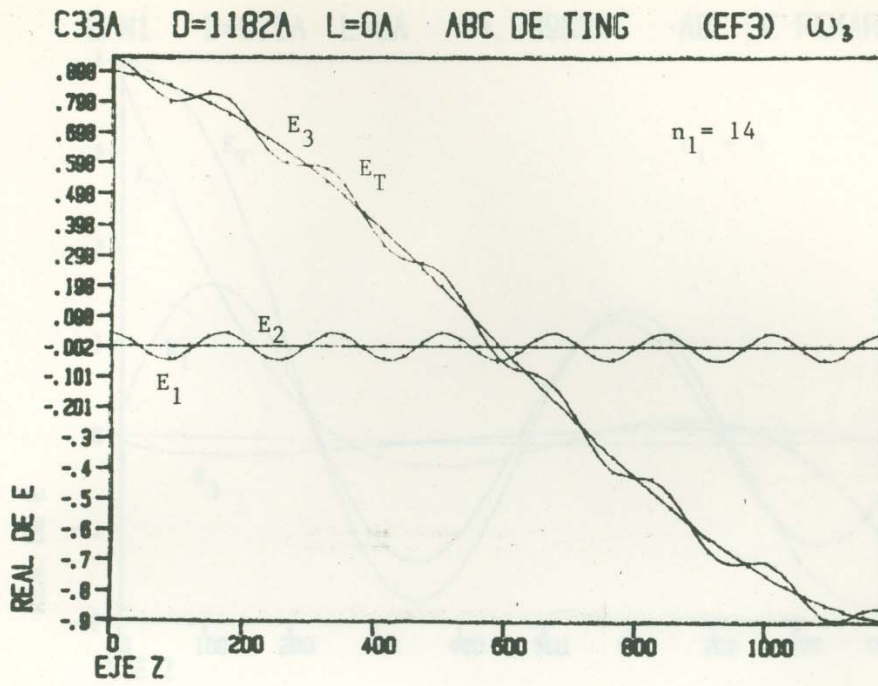


Figura IV.12.a

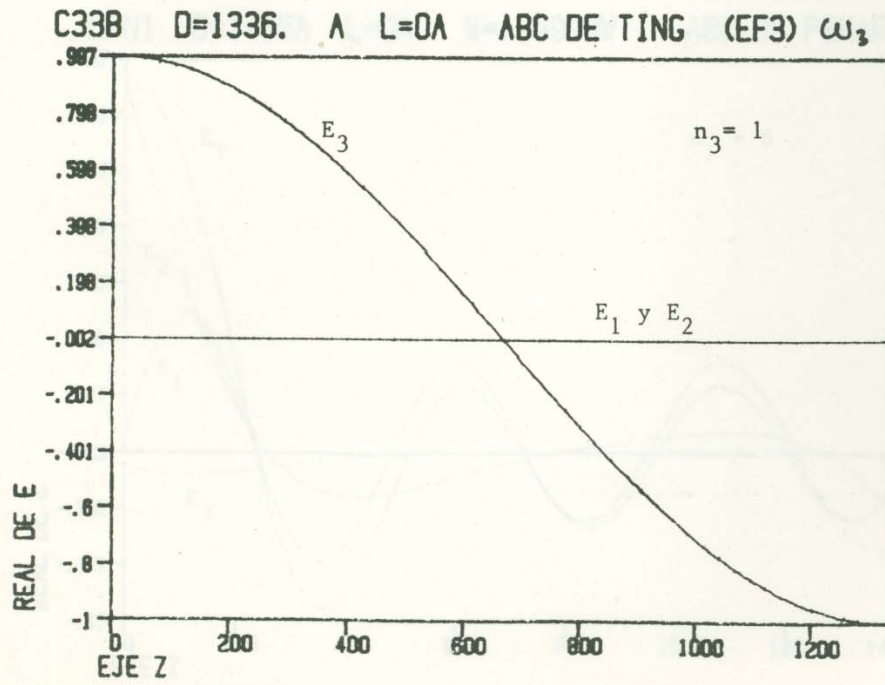


Figura IV.12'b

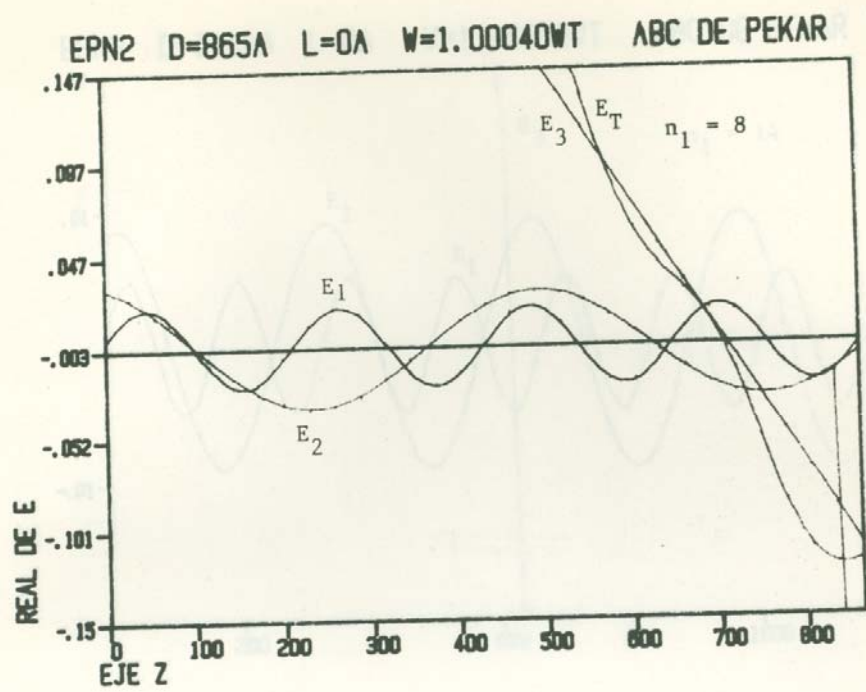
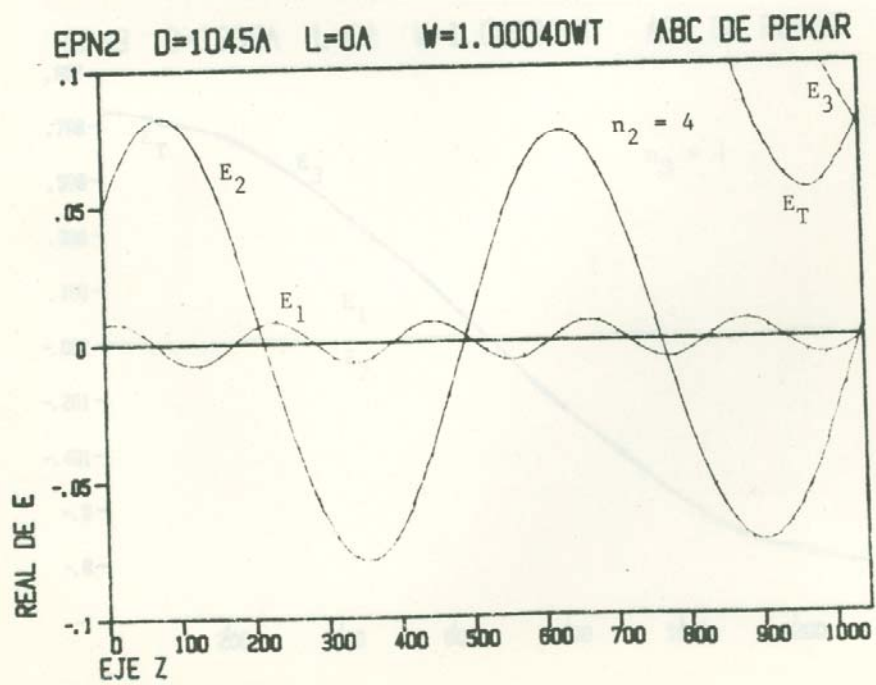


Figura IV.14.a



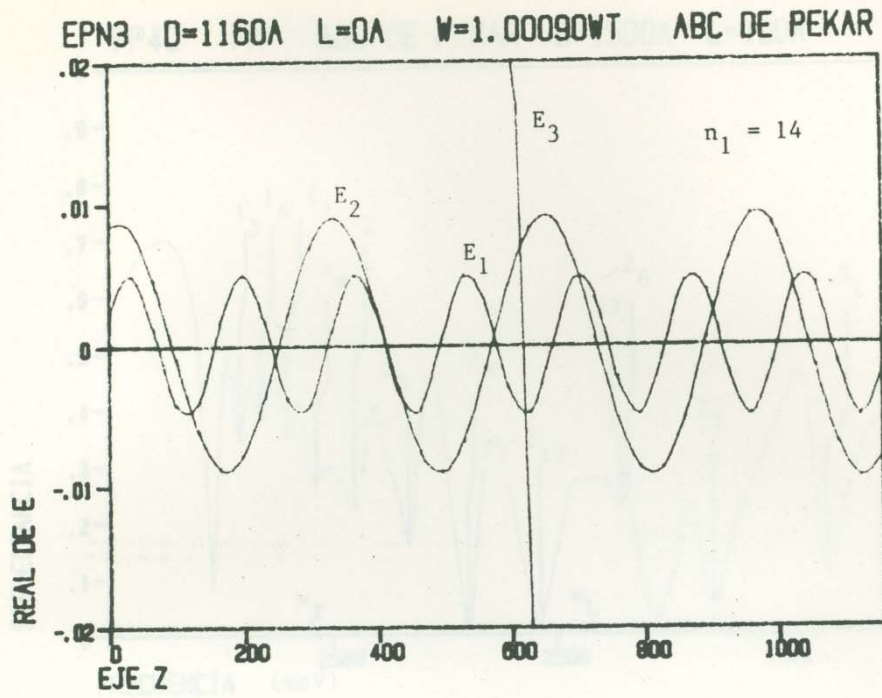


Figura IV.15.a

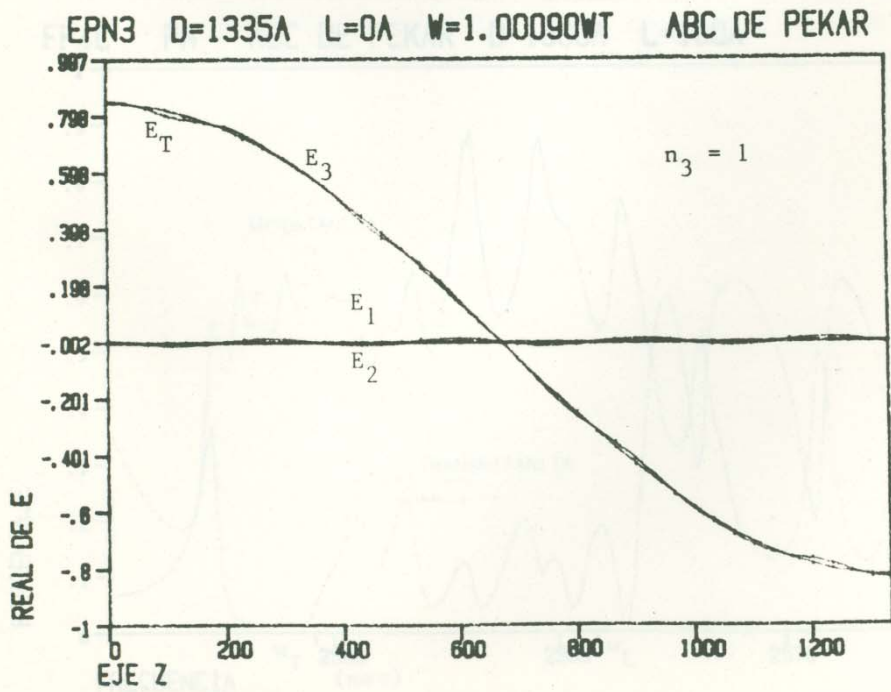


Figura IV.15.b

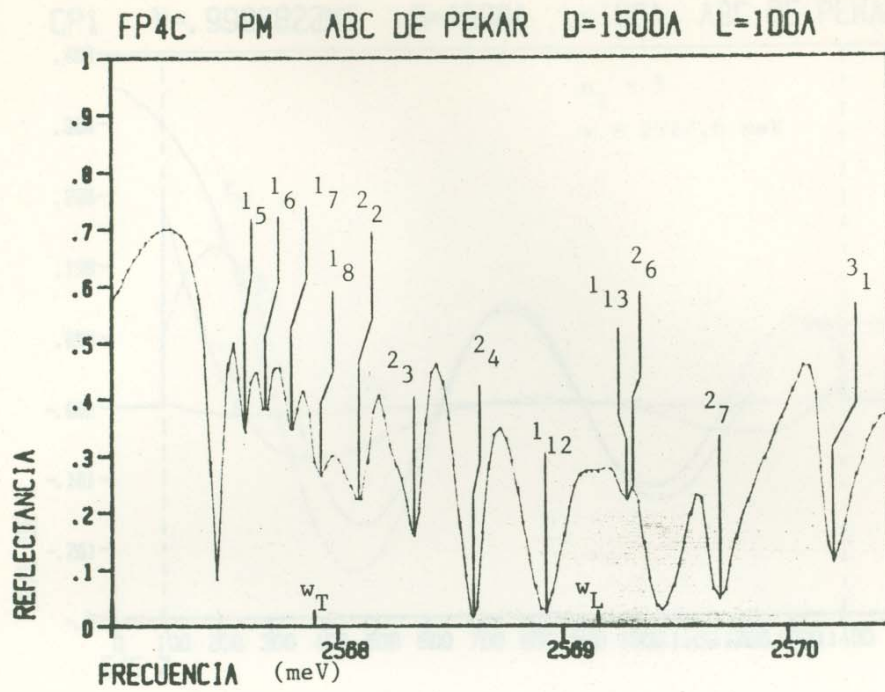


Figura IV. 16.a

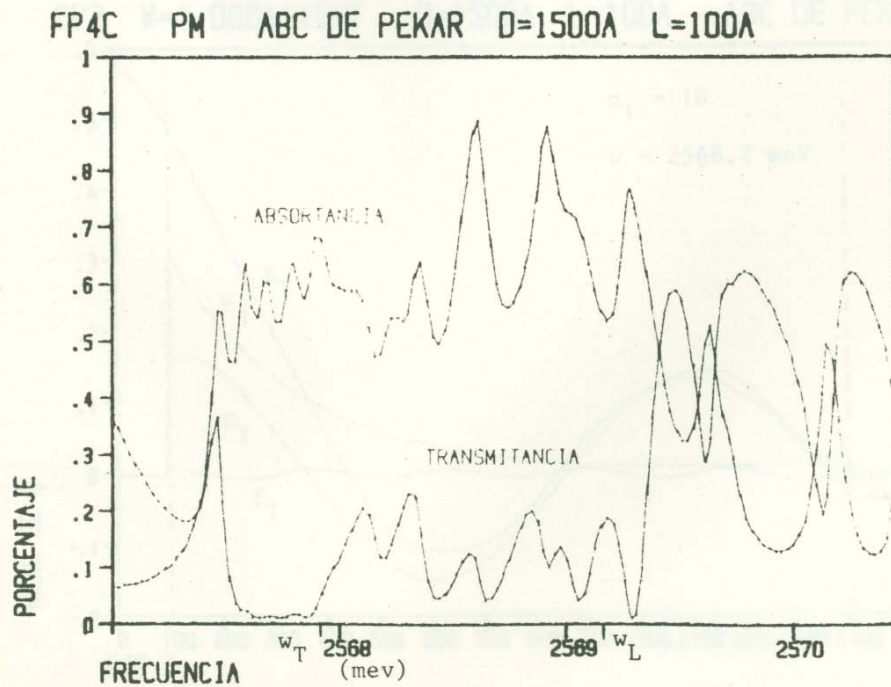


Figura IV.16.b

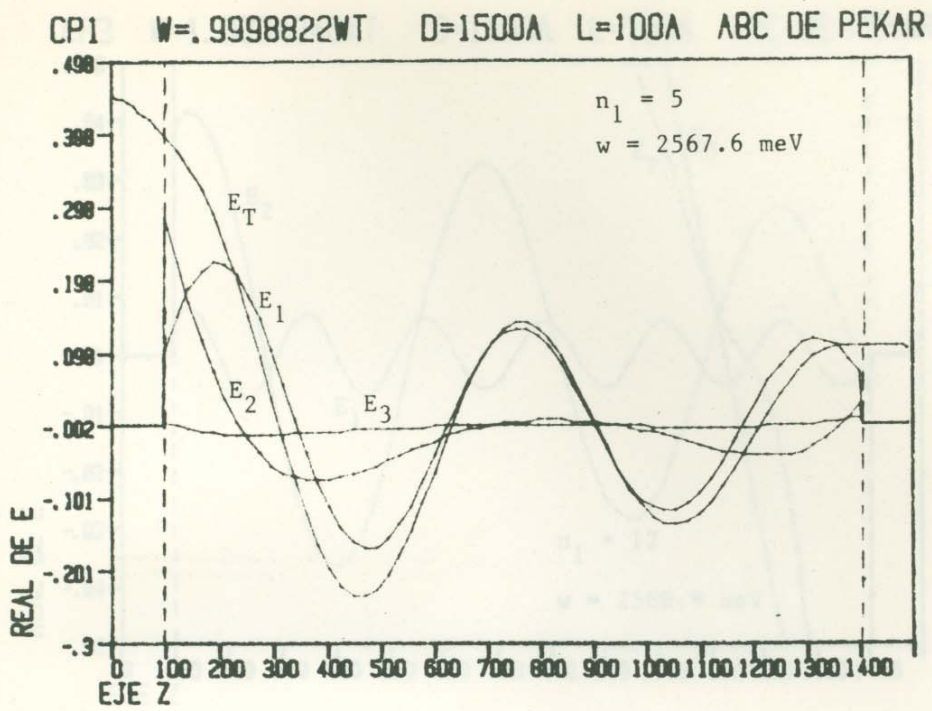


Figura IV.17.a

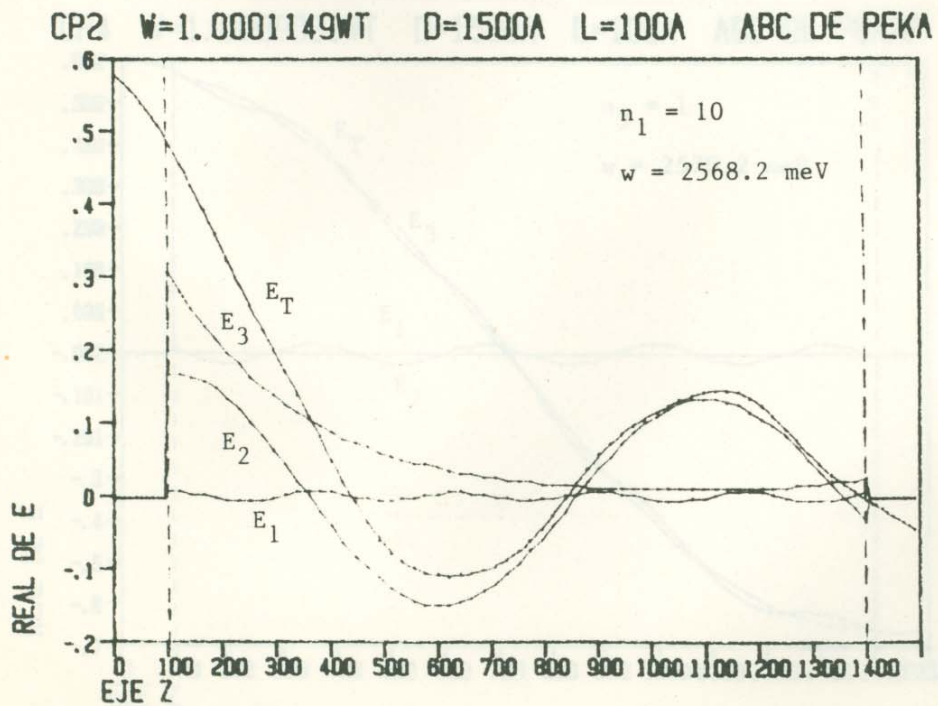


Figura IV.17.b

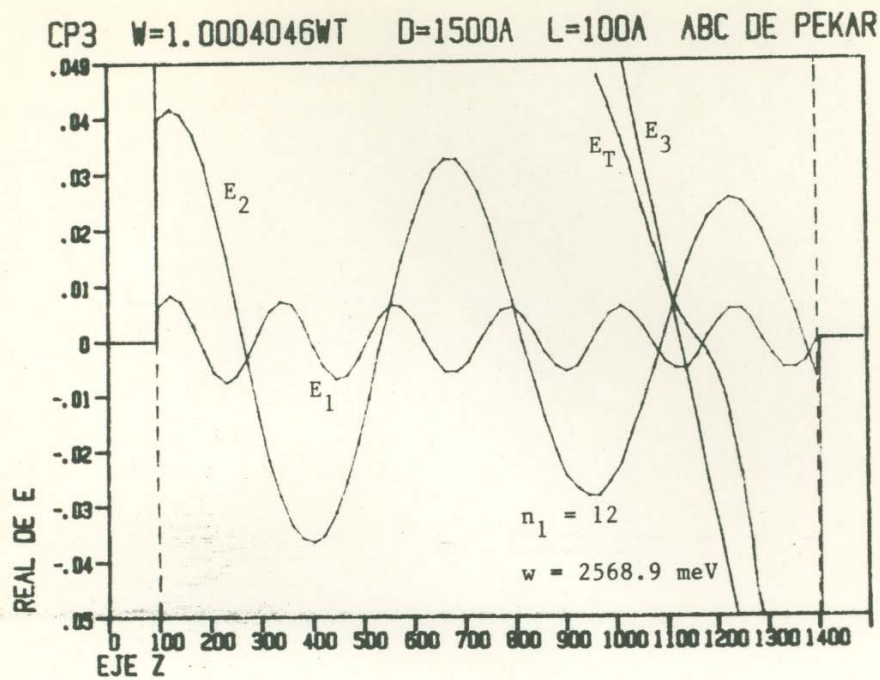


Figura IV.17.c

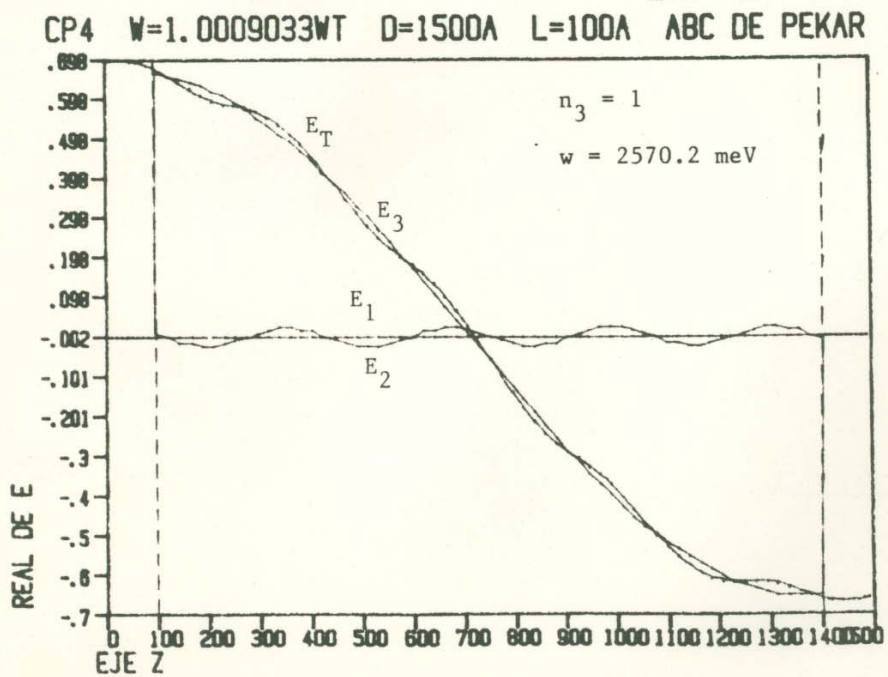


Figura IV.17.d